

## 1. はじめに

Rayleigh数が大きく乱流状態にある熱対流中には、熱的不擾乱を加えている上または下の境界より多くのブリュームが発生し、こうしたブリュームとそれを補償する流れにより、セル構造が形成されている (Tamai & Asaeda<sup>2</sup>)。Howard<sup>2</sup>は、このようすブリュームは境界付近に熱伝導によって生ずる熱境界層の安定が崩れて発生するものと考え、一度ブリュームが発生すると温度分布の一様に亘り再び熱境界層が形成し始めるという周期的なモデルを提案した。ところが著者らの報告<sup>3</sup>では、同様に、熱伝導により形成される熱境界層の安定が崩れてブリュームが発生する場合でも、加熱開始当初、すなわち、一様な温度分布をもつ静止した流体を底板から加熱した時にブリュームが発生するまでに要する時間と、十分時間が経過して定常状態に達した対流中に発生するブリュームの平均的な発生周期を比較すると、前者に比べ後者は約1%になると示された。しかし、定常状態に達した対流中に発生するブリュームは、渦昇流線と呼ばれる網の目状の線上から発生することが示されている。<sup>4</sup>これらのことより、定常状態の対流中ににおけるブリュームの発生機構は、ブリュームが発生して熱境界層が消滅し再び、熱境界層が形成し始めるといった単純なくり返しによるものではなく、より複雑な機構に依っていることが考えられる。本研究は、こうした点に着目して、底板付近に形成された熱境界層内の温度分布の変化を測定し、発生するブリュームの特性との関連性を考察したものである。

## 2. 実験装置および実験方法

実験には、底面が 90cm × 40cm、深さ 75cm の水槽を用いた。水槽の底板はアルミニウム板 (3mm 厚) で、その下に一定の熱フラックスを供給できるシリコンラバーヒーターを備えていた。水温の測定はサーミスター・リニアライザを用いた。このセンサーは、直径 1mm の棒状 (コーディングも含む) をしてあり、これを底板から 1mm、3.5mm、5.6mm よりも 55mm の高さに配置し、水温の鉛直分布を測定した。なお、後で示すように、下の 3 本のセンサーは熱境界層内に含まれておらず、55mm の高さに配置したため、境界層外の平均水温を測定するためのものである。水深は 12.0cm とし、底板からの熱フラックスは、 $1.54 \times 10^2 \text{ cal/cm}^2 \cdot \text{sec}$  とした。さらに、アルミニウム粉末照射法を用いて、底板付近での渦昇流線の分布も同時に可視化した。

## 3. 加熱開始直後の熱境界層の発達

図 1 に示すのが高さでの水温の時間的变化を示す。加熱開始後、まず、 $Z=1.0\text{mm}$  の水温が急激に増加し、 $Z=3.5\text{mm}$ 、 $5.6\text{mm}$  の水温変化が次第に急激にすくっていく。約 80 秒経過した時点では、これらの高さでの水温が同時に 1 つのピーク値をとる。著者ら<sup>3</sup>によると、加熱開始後ブリュームが発生するまでの時間  $t_V$  は

$$t_V = 33 (\alpha / (\rho F_p g))$$

で表わされることが示されており、このピークまでの経過時間はほぼこれに一致している。この時点で最初のブリュームが発生したと考えられる。なお、ここで、 $\alpha$  は動粘性係数、 $\alpha$  は体膨張率、 $F_p$  は底板からの熱フラックス、 $\rho$  は密度、 $C$  は比熱、 $g$  は重力加速度を示す。

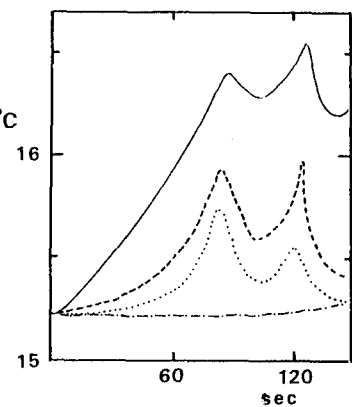


図 1 加熱開始直後の水温変化  
 —  $Z = 1.0\text{mm}$  (図 2、図 4 における)  
 - - -  $= 3.5\text{mm}$   
 · · ·  $= 5.6\text{mm}$   
 - · - -  $= 55\text{mm}$  (同様の表示を行つ)

著者らによると、このように静止した流体中に最初にブリュームが発生する際には、底板附近の熱境界層の安定が崩れた時点において一定の厚さの渦層が形成することが示されている。この厚さ $\delta$ は、

$$\delta = 14 \left( \frac{K^2 D}{\rho C g} \right)^{\frac{1}{4}}$$

で示され、本実験の場合には $9\text{ mm}$ となる。この渦層の厚さ $\delta$ は境界層の厚さに対応すると考えられるので、下の3本のセンサーはすべて境界層中に含まれていることがわかる。

#### 4. 定常状態の対流中の境界層の水温分布 (渦昇流線上の水温分布)

図2(b)は図2(a)で示された3様子渦昇流線の上で測定した3種類の高さでの水温の変化を示す。図中のピーカーの時点でブリュームが発生している。図より、温度の高い流体がブリュームと重って上昇するとすぐに

境界層内の温度が低下するため、ブリュームが一定強度で継続的に発生し得ることがわかる。

図2(b)中のIおよびIIの時点における境界層内における水温の増分の鉛直分布を示したもののが図3である。図中の斜線で示されている部分がブリュームが発生したために温度が低下した部分である。Iの時点で発生したブリュームはそれ以前に発生したいくつかのブリュームと重なり、境界層を形成したいた流体の大部分が上昇した場合であるが、そうした場合においても底板の近く近傍には温度の高い流体が残されていることがわかる。こうした現象は、それ以前にみられるように頻繁にブリュームが発生している場合にはさらに顕著である。このように、底板附近に温度の高い層が残るといふことは、熱が蓄積されて再び層が不安定になるとまでに要する時間が、境界層内の水温分布が一様な場合に比べて短縮されることを示している。加熱開始当初のブリュームの発生時間に比べて定常状態に達した対流中では頻繁にブリュームが発生し得ることを示しているといえる。

#### (渦昇流線以外の場所での境界層の温度分布)

図4(b)は図4(a)に示されたような、渦昇流線以外の場所にセンサーが設置された場合の境界層内各高さでの水温変化である。図からわかるように、渦昇流線以外の場所においても、底板より $1\text{ mm}$ の高さでの水温は境界層外の水温より $1^\circ\text{C}$ 程度高い値を示しており、底板の近く近傍に温度の高い流体層が存在していることがわかる。しかし、底板からある程度離れてくると、境界層外の温度と変わらずくなってしまい、熱伝導による層が発達している様子はみられない。

#### 参考文献

- N. Tamai and T. Asaeda: Hydroscience and Hydraulic Engineering, Vol. 1, part I, 1983.
- L.N. Howard: Proc. 11th Int. Congress Applied Mechanics, Munich, 1964.
- 浅枝 隆, 玉井信行: 土木学会論文報告集, 第336号, 1983.

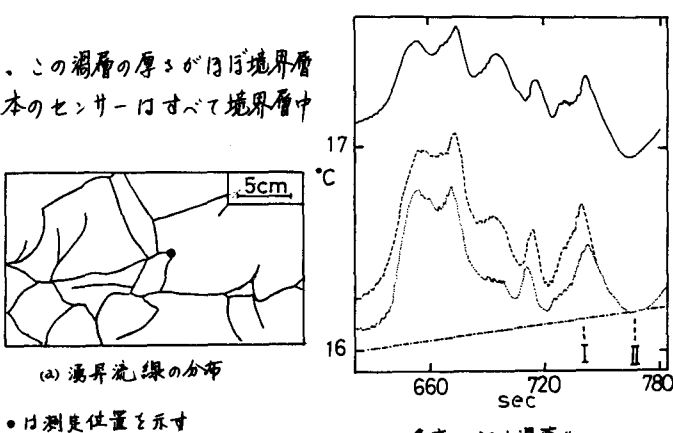


図2. 定常状態の対流中の境界層内の水温  
(b) 図における時間は加熱開始後のものである。

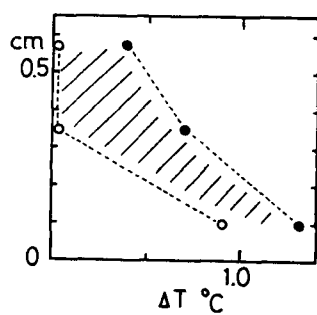


図3. 図2(b)中I, II時点の水温鉛直分布  
●: I, ○: II

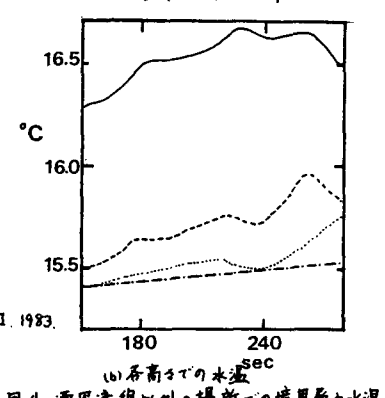
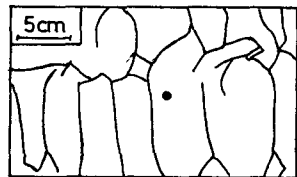


図4. 渦昇流線以外の場所での境界層内水温